



# نشریه علمی پژوهشی مهندسی فناوری اطلاعات مکانی

سال چهارم، شماره سوم، پاییز ۱۳۹۵

Vol.4, No.3, Autumn 2016

۴۳-۵۶

این مقاله در اولین کنفرانس ملی مهندسی فناوری اطلاعات مکانی به عنوان مقاله برگزیده انتخاب شده است که پس از تکمیل، داوری مجدد و اخذ پذیرش در این شماره از نشریه به چاپ می‌رسد.

## شناسایی اشتباهات تناظریابی و تصحیح نسبی توابع رشناל در تصاویر استریو ماهواره‌ای با استفاده از الگوریتم RANSAC+RPC

نوراله تتر<sup>۱\*</sup>، محمد سعادت سرشت<sup>۲</sup>، حسین عارفی<sup>۳</sup>

۱- دانشجوی کارشناسی ارشد، دانشکده مهندسی نقشه برداری و اطلاعات مکانی، پردیس دانشکده های فنی، دانشگاه تهران

۲- دانشیار دانشکده مهندسی نقشه برداری و اطلاعات مکانی، پردیس دانشکده های فنی، دانشگاه تهران

۳- استادیار دانشکده مهندسی نقشه برداری و اطلاعات مکانی، پردیس دانشکده های فنی، دانشگاه تهران

تاریخ دریافت مقاله: ۱۳۹۴/۱۲/۱۵      تاریخ پذیرش مقاله: ۱۳۹۵/۰۶/۱۵

### چکیده

یکی از مهم‌ترین مراحل پردازش تصاویر ماهواره‌ای و بخصوص تصاویر استریو ماهواره‌ای بحث زمین مرجع سازی آن‌هاست. در حال حاضر اکثر شرکت‌های تولیدکننده تصاویر استریو ماهواره‌ای از توابع رشنال برای زمین مرجع سازی استفاده می‌کنند. اما از آنجا که تولید توابع رشنال برای هر تصویر به طور جداگانه انجام می‌گیرد، در عمل علاوه بر خطای مطلق این توابع، بین توابع رشنال این تصاویر یک نوع خطای نسبی نیز وجود دارد که برای اهداف بر جسته‌بینی و استخراج مختصات سه‌بعدی به نظر می‌رسد که باید تصحیح شود. ایده‌ی مطرح برای تصحیح نسبی این توابع، استفاده از نقاط متناظر عکسی است. در حال حاضر اپراتورهای بینایی رایانه می‌توانند به صورت اتوماتیک نقاطی را استخراج و تناظریابی کنند؛ اما تناظریابی این نقاط با اشتباهاتی همراه هستند که باقی‌ستی از چرخه محاسبات تصحیح نسبی ضرایب توابع رشنال حذف شوند. در این تحقیق برای تصحیح نسبی توابع رشنال و همچنین حذف همزمان اشتباهات تناظریابی، الگوریتم RANSAC+RPC پیشنهاد داده شده است. نتایج بدست آمده بر روی زوج تصاویر ماهواره‌ای GeoEye1 از منطقه شهری قم و تصاویر ماهواره‌ای IRS P5 از منطقه رودهن نشان می‌دهد اگرچه این استراتژی برای توجیه نسبی پایدار تصاویر ماهواره‌ای از موفقیت بالایی برخوردار است، اما میزان تاثیر تصحیحات روی نقاط سه‌بعدی بازسازی شده در حد زیر پیکسل است.

**کلیدواژه‌ها:** توابع رشنال، تصحیح نسبی توابع رشنال، تصاویر استریو ماهواره‌ای، RANSAC+RPC، شناسایی اشتباهات تناظریابی.

\* نویسنده مکاتبه کننده: ایران، تهران، دانشگاه تهران، پردیس دانشکده های فنی، دانشکده مهندسی نقشه برداری و اطلاعات مکانی.

تلفن: ۰۲۱-۸۸۰۰۸۸۳۷

## ۱- مقدمه

نیازی به تصحیح نسبی این توابع در حالت تصاویر استریو نیست. اما در کاربردهایی نظیر جابجایی سنجی و یا برآورد حجم توده ذرات جابجا شده (که به تصحیح مطلق توابع رشنال نیازی نیست)، با توجه به مقدار خطای شیفت و دریفت نسبی بین توابع رشنال تصاویر به تنها نمی‌توان از آن‌ها استفاده کرد. یکی از راهکارهایی که در این گونه مسائل، می‌تواند برای هم مرجع‌سازی این تصاویر انجام بگیرد، استفاده همزمان از توابع رشنال و نقاط متناظر تصویری است [۶ و ۸].

برای اندازه‌گیری اتوماتیک نقاط متناظر عکسی در تصاویر ماهواره‌ای، الگوریتم‌های بینایی رایانه متعددی معرفی و توسعه داده شده است [۱، ۹، ۱۰، ۱۱، ۱۲، ۱۳ و ۱۴]. اما در تمامی این الگوریتم‌ها اشتباهات<sup>۲</sup> تناظریابی وجود دارد که بایستی از چرخه‌ی تناظریابی حذف شوند. یکی از راهکارهای شناسایی و حذف اشتباهات تناظریابی، به کارگیری الگوریتم RANSAC با مدل‌های افاین، پروژکتیو و یا هندسه اپی پولار (ماتریس اساسی) است [۱۵]. اما هندسه‌ی تصاویر ماهواره‌ای به‌گونه‌ای است که مدل‌های تبدیل سراسری نظیر افاین<sup>۳</sup>، پروژکتیو<sup>۴</sup> و یا چندجمله‌ای ارتباط هندسی میان تصاویر (خصوصا تصاویر بزرگ مقیاس با تغییرات ارتفاعی زیاد) را نمی‌توانند به طور کامل و با دقت بالا برقرار نمایند [۱۶]. به همین دلیل برای برقراری ارتباط دقیق بین تصاویر استریو ماهواره‌ای، علاوه بر نقاط متناظر عکسی، از توابع رشنال نیز استفاده شده است [۱۷ و ۱۸]. اما در تمامی روش‌های پیشین، برای حذف اشتباهات تناظریابی از الگوریتم RANSAC و مدل ریاضیاتی توابع رشنال استفاده نشده است [۱۷]. علاوه بر این لازم به ذکر است، پیش از این برای تصحیح نسبی

زمین مرجع‌سازی یکی از مهم‌ترین مراحل پردازش‌های تصاویر ماهواره‌ای است؛ که با استفاده از مدل‌های فیزیکی و یا مدل‌های ریاضی انجام می‌گیرد. مدل‌های فیزیکی که عمدتاً بر اساس هندسه تصویربرداری، پارامترهای کالیبراسیون سنجنده و معادلات شرط هم خطی نوشته می‌شوند از دقت بالاتری برخوردار هستند. اما این مدل‌ها به دلایل اقتصادی، کاهش پیچیدگی و یا امنیتی در اختیار کاربران قرار نمی‌گیرند [۱].

مدل‌های دسته دوم که برای زمین مرجع‌سازی تصاویر ماهواره‌ای به کار گرفته می‌شوند، مدل‌های مبتنی بر توابع ریاضی هستند. یکی از معروف‌ترین و پرکاربردترین این توابع، توابع رشنال<sup>۱</sup> می‌باشد. توابع رشنال، توابع ریاضی هستند که؛ ارتباط بین مختصات زمینی و عکسی را برقرار می‌کنند [۲]. امروزه به همراه تصاویر ماهواره‌ای، ضرایب این توابع در اختیار کاربر قرار داده می‌شوند. در حال حاضر کمتر سنجنده‌ای دیده می‌شود که از توابع رشنال برای زمین مرجع‌سازی تصاویر ماهواره‌ای استفاده نکند. دلیل اصلی استفاده از توابع رشنال را می‌توان سادگی و کاهش سطح دسترسی کاربر به پارامترهای فیزیکی سنجنده‌ها دانست [۱].

در زمین مرجع‌سازی تصاویر ماهواره‌ای با توابع رشنال، برای نوارهای با طول کمتر از ۵۰ کیلومتر، یک نوع خطای شیفت و دریفت گزارش شده است [۳، ۴ و ۵]. علاوه بر این، از آنجا که فرآیند تولید ضرایب توابع رشنال برای هر تصویر ماهواره‌ای جداگانه انجام می‌گیرد؛ در تصاویر استریو ماهواره‌ای یک نوع خطای شیفت و دریفت نسبی نیز وجود دارد [۶ و ۷]. چنانچه توابع رشنال به صورت مطلق تصحیح شوند،

<sup>2</sup> Outliers

<sup>3</sup> Affine

<sup>4</sup> Projective

<sup>۱</sup> Rational Polynomial Coefficient (RPC)

به طور معمول توابع رشناال در دو حالت مستقیم و معکوس مورد استفاده قرار می‌گیرند؛ با توجه به هدف این مقاله مبنی بر تصحیح ضرایب توابع رشناال در حالت مستقیم، در ادامه تنها معادلات و روابط این حالت ارائه می‌شود.

منظور از توابع رشناال در حالت مستقیم؛ انتقال مختصات سه‌بعدی نقاط زمینی به مختصات دو بعدی عکسی است. در حال حاضر تمامی شرکت‌ها و سازمان‌ها این نوع از توابع رشناال را در اختیار کاربران قرار می‌دهند. فرم کلی این توابع در حالت مستقیم به صورت روابط (۱) و (۲) نوشته می‌شوند [۲].

$$l = \begin{bmatrix} ua^T \\ ub^T \end{bmatrix} l_s + l_0 \quad (1)$$

$$S = \begin{bmatrix} uc^T \\ ud^T \end{bmatrix} S_s + S_0 \quad (2)$$

متغیرهای روابط (۱) و (۲) عبارت‌اند از:

$$V^2 U^2 W^2 UVW V^3 VU^2 VW^2 u = [1 \ V \ U \ W \ VVU \ VW \ UW \ V^2U \ U^3 \ UW^2 \ V^2W \ U^2W \ W^3] \quad (3)$$

$$a = [a_1 \ a_2 \ \dots \ a_{20}] \quad (4)$$

$$b = [1 \ b_1 \ \dots \ b_{19}] \quad (5)$$

$$c = [c_1 \ c_2 \ \dots \ c_{20}] \quad (6)$$

$$d = [1 \ d_1 \ \dots \ d_{19}] \quad (7)$$

$$V = \frac{\lambda - \lambda_0}{\lambda_s} \quad (8)$$

$$U = \frac{\varphi - \varphi_0}{\varphi_s} \quad (9)$$

$$W = \frac{h - h_0}{h_s} \quad (10)$$

که در آن‌ها؛  
 $U, V, W$ : مختصات نرمالیزه شدهی نقطه‌ی زمینی.  
 $\lambda$ : به ترتیب عرض جغرافیایی، طول جغرافیایی و ارتفاع از روی دیتوم.  
 $\varphi$ : مختصات عکسی (سطر و ستون).  
 $h$ : ارتفاع از روی دیتوم.  
 $l_0, S_0, h_0, \lambda_0, \varphi_0$ : به ترتیب شیفت عرض جغرافیایی، طول جغرافیایی، ارتفاع از روی دیتوم، سطر تصویر و ستون تصویر.  
 $l_s, S_s, h_s, \lambda_s, \varphi_s$ : به ترتیب مقیاس عرض جغرافیایی، طول جغرافیایی، ارتفاع از روی دیتوم.

توابع رشناال از نقاط متناظر دستی که از صحت بالای برخوردارند، استفاده شده است [۸].

در این مقاله برای برقراری ارتباط دقیق بین تصاویر استریو ماهواره‌ای و به تبع آن شناسایی و حذف اشتباهات تناظریابی حاصل از *RANSAC+RPC* پیشنهاد می‌شود. همچنین همزمان با شناسایی اشتباهات تناظریابی، فرآیند تصحیح نسبی توابع رشناال نیز انجام می‌گیرد. در ادامه پس از معرفی توابع رشناال، راهکار پیشنهادی جهت به کارگیری الگوریتم *RANSAC* با توابع رشناال بیان می‌شود. سپس آزمایشات انجام گرفته روی تصاویر استریو ماهواره‌ای تشریح شده و در پایان ارزیابی نتایج به دست آمده، ارائه می‌شود.

## ۲- توابع رشناال

توابع رشناال، توابع ریاضی هستند که ارتباط بین مختصات زمینی و عکسی را برقرار می‌کنند [۲].

$$\text{رابطه (۳)}$$

$$\text{رابطه (۴)}$$

$$\text{رابطه (۵)}$$

$$\text{رابطه (۶)}$$

$$\text{رابطه (۷)}$$

$$\text{رابطه (۸)}$$

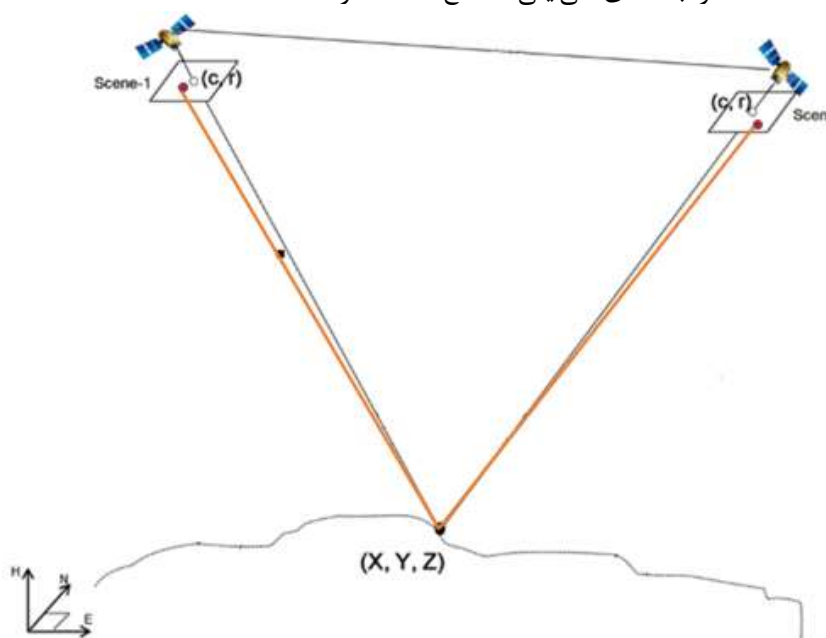
$$\text{رابطه (۹)}$$

$$\text{رابطه (۱۰)}$$

داده شوند و سپس با استفاده از همین توابع رشنال، این نقطه شیایی به فضای تصاویر انتقال داده شود، بین مختصات اولیه و مختصات محاسبه شده یک نوع خطایی به وجود می‌آید، که به آن خطای نسبی می‌گویند (شکل (۱)). در صورتی که این خطا (هم مطلق و هم نسبی) برای تمامی نقاط عکسی مقداری ثابت داشته باشد به آن شیفت گفته می‌شود. ولی اگر این مقدار خطای در نقاط مختلف دارای تغییرات غیرثابتی باشد، علاوه بر شیفت، دریفت نیز دارد.

دیتوم، سطر تصویر و ستون تصویر. به همراه توابع رشنال زمین مستقل، علاوه بر ۷۸ ضرایب  $a, b, c, d$ ، پارامترهای نرمالیزاسیون  $l_s, S_s, h_s, \lambda_s, \varphi_s$  و  $l_0, S_0, h_0, \lambda_0, \varphi_0$  در اختیار کاربر قرار داده می‌شوند.

اگر موقعیت شیایی یک نقطه در سیستم مختصات مرجع، نسبت به موقعیت محاسبه شده همان نقطه با توابع رشنال دارای اختلاف بود، به آن خطای مطلق می‌گویند. اما در تصاویر استریو، اگر با استفاده از توابع رشنال دو نقطه متناظر، به فضای شیایی تقاطع



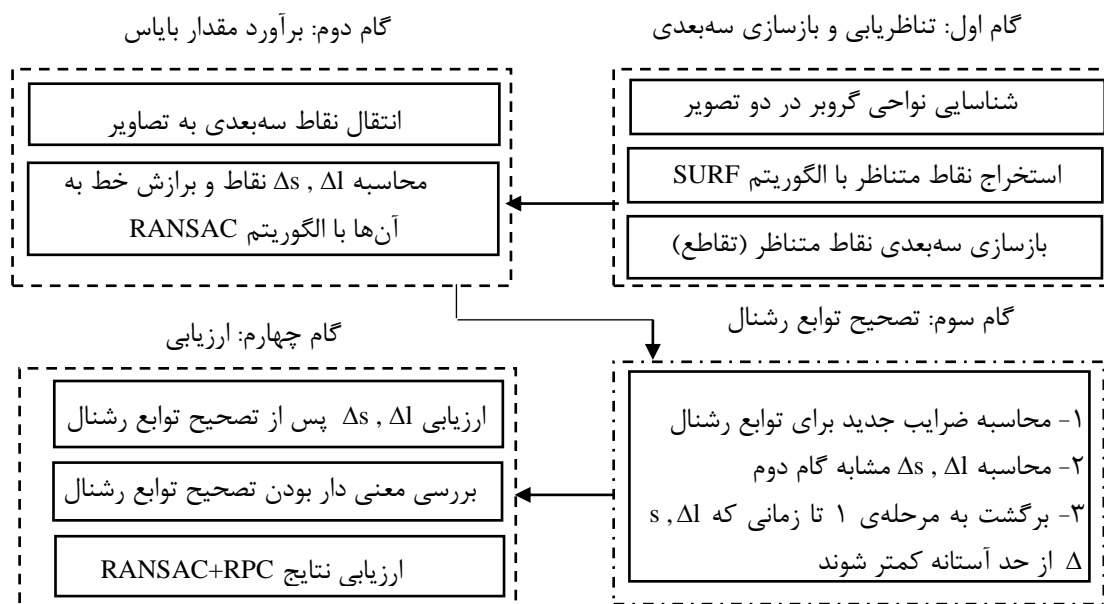
شکل ۱: اثر خطای نسبی توابع رشنال در تصاویر استریو ماهواره‌ای

پرتوهای متناظر و همچنین شناسایی اشتباهات، ترکیع فضایی انجام می‌گیرد. بنابراین در گام دوم علاوه بر شناسایی اشتباهات متناظریابی، مقدار خطاهای شیفت و دریفت نسبی بین توابع رشنال محاسبه می‌شود.

در گام سوم مقدار تصحیح این خطا به توابع رشنال اعمال شده و توابع رشنال جدید برآورد می‌شوند. و در گام چهارم نیز ارزیابی نتایج و معنی دار بودن تصحیح نسبی توابع رشنال مورد بررسی قرار می‌گیرد.

### ۳- الگوریتم RANSAC+RPC

به منظور تصحیح نسبی توابع رشنال و شناسایی متناظرهای اشتباه در فرآیند متناظریابی و تصحیح توابع رشنال گام‌های ارائه شده در شکل (۲) مطرح می‌شوند. از آنجا که هدف از تصحیح توابع رشنال، انجام تقاطع فضایی صحیح بین نقاط متناظر عکسی است؛ در گام اول متناظریابی و بازسازی سه بعدی صورت می‌گیرد. پس از بازسازی سه بعدی نقاط، برای بررسی میزان تنافر



شکل ۲: مراحل روش پیشنهادی در الگوریتم RANSAC+RPC

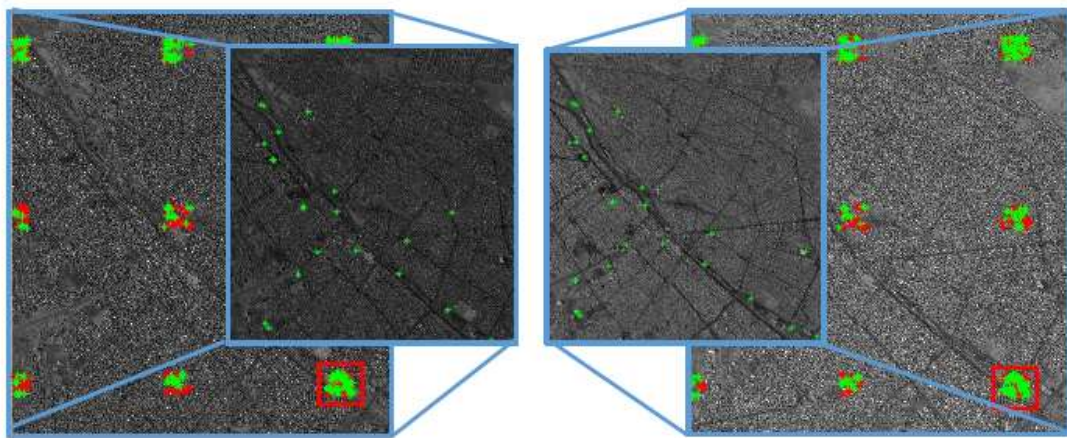
هرم تصاویر ساخته می شود (ساخت تصاویر با ابعاد  $1/16$ ,  $1/8$ ,  $1/4$ ,  $1/2$ ,  $1/1$  از تصاویر اولیه)، سپس در بالاترین لایه هرم (لایه  $1/16$ ) با الگوریتم SURF تناظریابی انجام می گیرد. در صورتی که تعداد نقاط متناظر شناسایی شده در بالاترین لایه هرم، کافی نبوده و یا تناظریابی از سطح اطمینان پایین تری برخوردار باشد، فرآیند تناظریابی (تا رسیدن به سطح اطمینان لازم) به لایه های پایینی هرم انتقال می یابد. این فرآیند در بدترین حالت ممکن از لایه  $1/4$  تجاوز نکرده و معمولاً در همان لایه های  $1/16$  یا  $1/8$  تناظریابی با موفقیت انجام می گیرد. پس از شناسایی نقاط متناظر صحیح، با استفاده از یک مدل افاین نواحی گروبر متناظر شناسایی می شوند. تحقیقات نشان داده است، استفاده از یک مدل افاین کافی است [۲۰ و ۲۱].

### ۱-۳- گام اول: تناظریابی و بازسازی سه بعدی

همان طور که پیشتر گفته شد، هدف از تصحیح توابع رشنال؛ انجام تقاطع فضایی صحیح بین نقاط متناظر عکسی است. بنابراین باستفاده یکسری نقاط گرهی در دو تصویر استریو شناسایی شود. برای استخراج اتوماتیک نقاط متناظر الگوریتم های زیادی وجود دارد [۱۰.۹، ۱۲، ۱۱ و ۱۳]؛ اما با توجه به عملکرد مناسب الگوریتم SURF از این الگوریتم استفاده می شود. با توجه به اینکه اجرای الگوریتم های تناظریابی بر روی تصاویر با ابعاد بزرگ، زمان پردازشی بالای را می طلبد، این فرآیند تنها برای نواحی خاصی مانند نواحی گروبر<sup>۱</sup> (هر ناحیه با ابعاد  $400 \times 400$  پیکسل) انجام می گیرد. برای شناسایی نواحی گروبر متناظر، از استراتژی ایجاد هرم تصاویر و تناظریابی در لایه های بالای آن، استفاده می شود (شکل (۳)).

اساس کار این استراتژی به این نحو است که ابتدا

<sup>۱</sup> Gruber Area



شکل ۳: تناظریابی تصاویر ماهواره‌ای با استفاده از استراتژی هرم تصاویر

از لحاظ تئوری منحنی‌های متناظر اپی‌پولار را می‌توان با انتقال مختصات تصویری به فضای شی‌ایی و تغییر ارتفاع در مختصات شی‌ایی به دست آورد. برای توضیح بیشتر، با توجه به شکل (۴) چنانچه نقطه  $a$  به نقاط  $P_1$  و  $P_2$  در فضای شی‌ایی انتقال داده شده و سپس این نقاط با توابع رشنال به نقاط  $b_1$  و  $b_2$  در تصویر راست انتقال یابند و همچنین مشابه روند قبلی با نقاط  $a_1$  و  $a_2$ , نقاط  $b_1$  و  $b_2$ , نقاط  $P_1$  و  $P_2$  در تصویر چپ به دست آید؛ اثبات شده که این نقاط بر روی منحنی‌های متناظر اپی‌پولار قرار گرفته‌اند [۲۴ و ۲۵]. حال چنانچه به جای تغییر ارتفاع در مختصات شی‌ایی از نقاط با اختلاف ارتفاع متفاوت استفاده شود، با انتقال آن‌ها به فضای تصویر و مقایسه آن‌ها با مقدار تناظریابی شده، می‌توان معادله دیفرانسیل این منحنی‌ها را برآورد کرد. زیرا در صورتی که در بدترین حالت ممکن، هندسه اپی‌پولار در تصاویر استریو رفتاری مانند شبه هذلولی داشته باشد [۲۳]، روند اختلاف مقادیر سمپل به صورت یک خط خواهد بود؛ به دلیل اینکه از لحاظ ریاضی مشتق یک شبه هذلولی (در اینجا اختلاف مقادیر سمپل) به صورت خط خواهد بود.

پس از این مراحل با الگوریتم RANSAC به مقدار خطاهای محاسبه شده، یک خط برآش

پس از شناسایی نقاط متناظر، بر اساس رابطه‌های (۱) و (۲)، می‌توان یک دستگاه معادلات ایجاد کرد. بدین منظور پس از خطی کردن دستگاه معادلات فوق حول مجھولات (یا به عبارتی  $U, V, W$ ) و حل آن به صورت کمترین مربعات، مختصات سه‌بعدی نقاط متناظر محاسبه می‌شود.

### ۲-۳- گام دوم: محاسبه مقدار خط

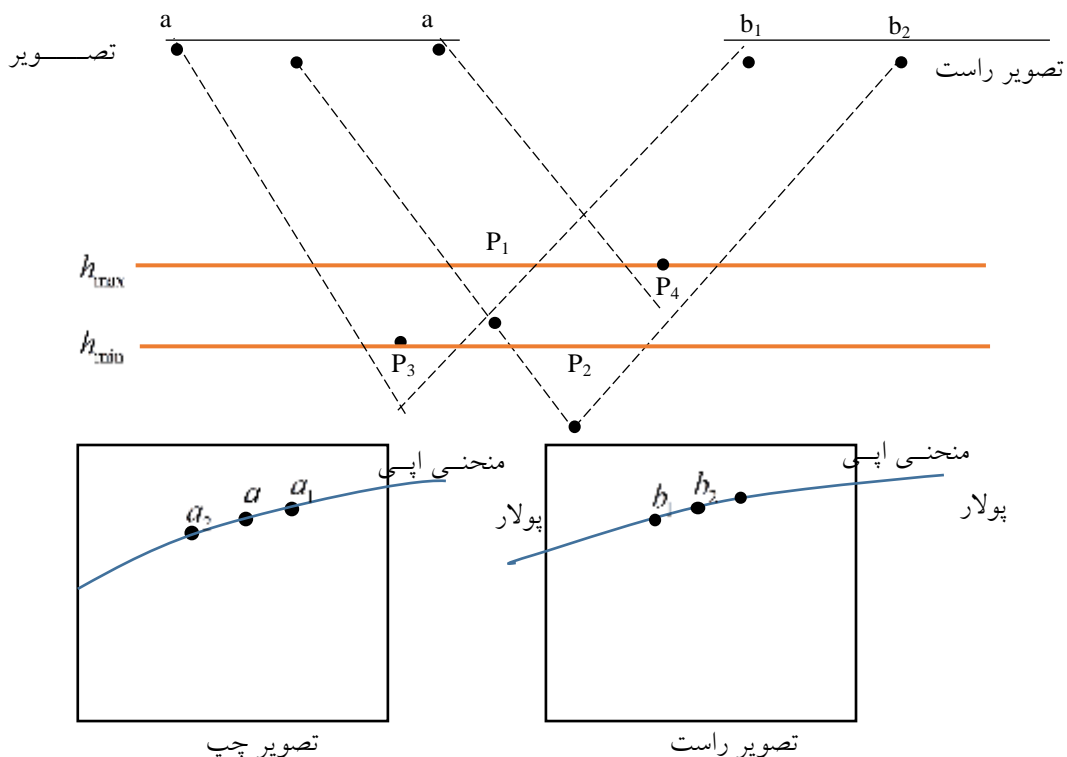
برای برآورد مقدار مقدار خطی توابع رشنال و شناسایی اشتباهات تناظریابی، مختصات شی‌ایی نقاط زمینی به کمک معادلات (۱) و (۲) به فضای تصویر انتقال داده می‌شود (شکل (۱)). از اختلاف مختصات محاسباتی با مختصات اولیه نقاط عکسی، یک خطی در حد چند پیکسلی به دست می‌آید که یا از خطی نسبی توابع رشنال ناشی می‌شود و یا اینکه مربوط به اشتباهات تناظریابی است. منظور از اشتباهات، نقاطی است که در راستای محور سمپل<sup>۱</sup> خط دارند، زیرا اگر در راستای لاین<sup>۲</sup> هم خطای وجود داشته باشد در مقدار ارتفاع حل می‌شود. این فرآیند به مانند این است که هندسه‌ی اپی‌پولار در تصاویر استریو ماهواره‌ای تخمین زده می‌شود [۲۴، ۲۳ و ۲۲].

<sup>1</sup> Sample

<sup>2</sup> Line

هنده‌ی اپی‌پولار خطی بوده؛ اما اگر شیب خط غیر صفر باشد نشان‌دهنده‌ی این است که هنده‌ی اپی‌پولار به صورت شبه هذلولی بوده است.

داده می‌شود؛ تا هم شیفت و هم دریفت نسبی (در صورت وجود) برآورد شود و هم اینکه اشتباهات تئوریابی شناسایی شوند. اگر شیب خط (برازش داده شده) صفر (و یا نزدیک به صفر) باشد،



شکل ۴: هنده‌ی اپی‌پولار در تصاویر استریو ماهواره‌ای

به دست می‌آیند:

$$a_{new} = a - \frac{\Delta l}{l_s} b \quad (13)$$

$$c_{new} = c - \frac{\Delta S}{S_s} d \quad (14)$$

تابع رشنال جدید همان توابع رشنال قبلی هستند با این تفاوت که ضرایب به دست آمده از روابط (۱۳) و (۱۴) به جای ضرایب قبلی جایگزین می‌شوند. پس از این مراحل با توابع رشنال جدید، مقدار خطای به دست آمده از گام دوم، دوباره محاسبه می‌شود. اگر مقدار خطاهای از حد آستانه (در اینجا کمتر از یک پیکسل) کمتر بود، توابع رشنال

### ۳-۳- گام سوم: تصحیح توابع رشنال

پس از برآورد مقدار خطای  $\Delta S'$ ,  $\Delta l'$ ,  $\Delta S''$ ,  $\Delta l''$  در هر دو تصویر، این مقادیر به روابط (۱۱) و (۱۲) اضافه می‌شوند.

$$\frac{l - l_0}{l_s} = \left[ \begin{array}{c} ua^T \\ ub^T \end{array} \right] + \frac{\Delta l}{l_s} \quad (11)$$

$$\frac{S - S_0}{S_s} = \left[ \begin{array}{c} uc^T \\ ud^T \end{array} \right] + \frac{\Delta S}{S_s} \quad (12)$$

در رابطه‌های (۱۱) و (۱۲) با یک طرفین-وسطین ساده می‌توان برای ضرایب  $a$ ،  $c$  یکسری ضریب جدید که اصلاح شده‌اند محاسبه نمود. ضرایب جدید از روابط زیر

ارزیابی نتایج انجام می‌گیرد.

#### ۱-۴- معرفی داده

در این تحقیق از یک جفت تصویر استریو ماهواره‌ای *GeoEye1* با پیکسل سایز زمینی ۰.۵ متر و یک جفت تصویر استریو ماهواره‌ای *IRS P5* با پیکسل سایز زمینی ۲.۵ متر استفاده شده است. تصاویر مربوط به *GeoEye1* از یک محدوده با بافت شهری و تصاویر *IRS P5* از یک محدوده با بافت کوهستانی، شهری و تپه‌ماهور اخذ شده‌اند (مشخصات این تصاویر در جدول (۱) نشان داده شده است).

تصحیح شده‌اند؛ در غیر این صورت تا رسیدن به خطای کمتر از حد آستانه، مرحله بازسازی سه‌بعدی و گام‌های دوم و سوم تکرار می‌شوند.

#### ۲- ۴- گام چهارم: ارزیابی نتایج

پس از تصحیح توابع رشنال با بررسی مقدار خطاهای  $\Delta l'$ ,  $\Delta S'$ ,  $\Delta l''$ ,  $\Delta S''$  ارزیابی نتایج صورت می‌گیرد. همچنین برای معنی دار بودن فرآیند انجام شده، مختصات سه‌بعدی نقاط قبل از تصحیح توابع رشنال و پس از تصحیح توابع رشنال با هم مقایسه می‌شود.

#### ۳- پیاده‌سازی و ارزیابی نتایج

در این بخش ابتدا داده‌های مورد استفاده معرفی شده، سپس گام‌های عملیاتی تشریح می‌شوند. در پایان نیز

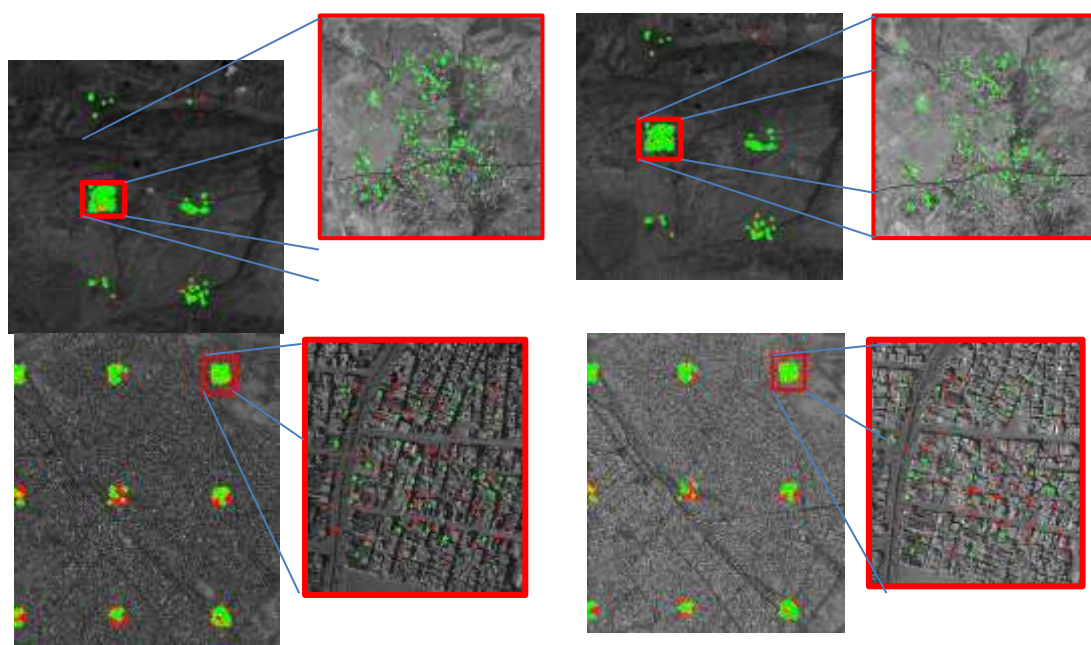
جدول ۱: مشخصات داده‌های ورودی

سال اخذ (میلادی)	موقعیت	سنجدۀ	ابعاد تصویر (پیکسل)
۲۰۱۴	ایران، شهر قم	<i>GeoEye1</i>	۱۷۰۰۰*۱۴۱۰۰
۲۰۰۷	ایران، روذهن	<i>IRS P5</i>	۱۲۰۰۰*۱۲۰۰۰

نقاط انتخابی (جهت برازش خط) و تعداد تکرار تعیین شوند. در این تحقیق از حد آستانه ۶۰ پیکسل و در هر تکرار از سه نقطه انتخابی استفاده شده است (دو نقطه کافی است، ولی برای پایداری بیشتر، سه نقطه به کار گرفته شده است). برای تعیین تعداد تکرار روش‌های مختلفی ارائه شده [۲۶]، اما در این تحقیق از تعداد تکرار برابر با نصف تعداد نقاط که در واقع یک روش تجربی بوده، بهره گرفته شده است. همچنین برای ارزیابی بیشتر، مقایسه‌ای بین روش پیشنهادی با روش‌های *RANSAC+Projective* و *RANSAC+Affine* انجام گرفته است (جدول (۲)).

#### ۴- ۲- گام‌های عملیاتی

همان‌طور که پیشتر اشاره شد، پس از شناسایی نواحی گروبر، برای استخراج نقاط متناظر عکسی، اپراتور SURF به کار گرفته می‌شود. پس از استخراج نقاط متناظر، با استفاده از توابع رشنال و حل دستگاه معادلات به دست آمده از رابطه‌های (۱) و (۲)، مختصات سه‌بعدی این نقاط محاسبه می‌شود. برای محاسبه مقدار خطای نسبی توابع رشنال، مختصات سه‌بعدی محاسبه شده، با ترکیع فضایی به فضای عکسی انتقال می‌یابد. (نتیجه این گام در شکل (۵) ارائه شده است). در استفاده از الگوریتم *RANSAC* بایستی پارامترهای حد آستانه بافر، تعداد



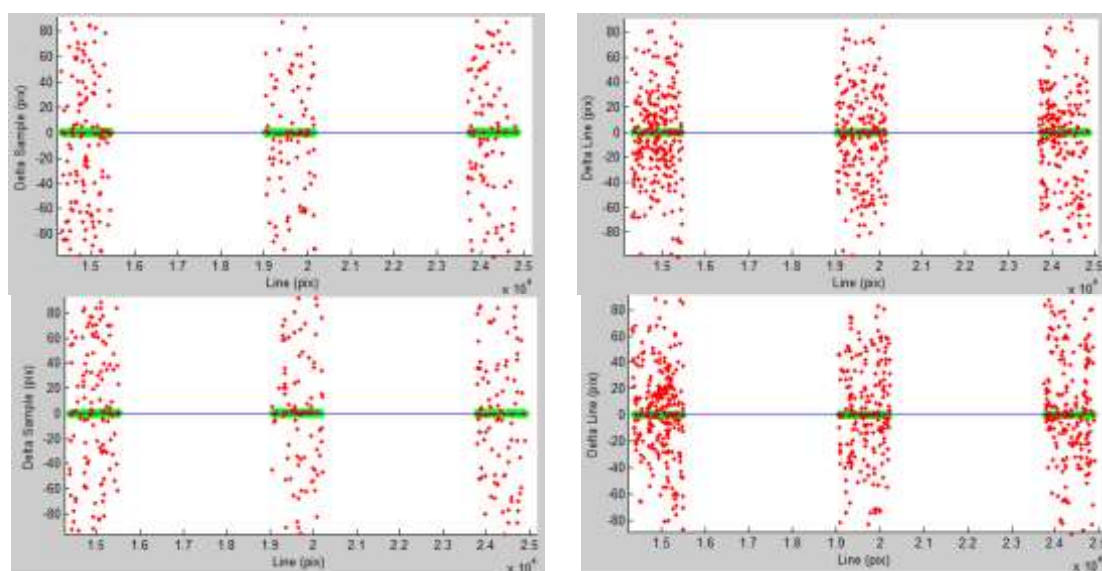
شکل ۵: استخراج نقاط متناظر با اپراتور SURF در تصاویر استریو سنجنده‌های IRS P5 (بالا) و GeoEye1 (پایین)؛ سمت-راست: تصویر جلوگیر (تصویر با زاویه دید مایل)؛ سمت-چپ: تصویر عقب نگر (تصویر با زاویه دید تقریباً قائم)؛ نقاط قرمزرنگ: نقاط متناظر اشتباه؛ نقاط سبزرنگ: نقاط متناظر صحیح

جدول ۲: بررسی اثر پارامتر حد آستانه بر الگوریتم RANSAC+RPC و مقایسه آن با سایر الگوریتم‌ها

تعداد نقاط متناظر صحیح			تعداد کل نقاط تناظریابی شده	حد آستانه (پیکسل)	سنجنده
RANSAC+Projective	RANSAC+Affine	RANSAC+RPC			
۵۴	۶۴	۷۱۴	۱۴۰۵	۰.۶	GeoEye1
۱۳۲	۱۲۱	۷۳۹	۱۴۰۵	۰.۸	
۱۳۹	۱۳۳	۷۴۷	۱۴۰۵	۱	
۳۸	۳۶	۵۴۸	۷۱۵	۰.۶	
۶۱	۵۹	۶۲۰	۷۱۵	۰.۸	
۷۵	۷۷	۶۵۰	۷۱۵	۱	

با مدل‌های سراسری افاین و پروژکتیو RANSAC ارائه شده است.

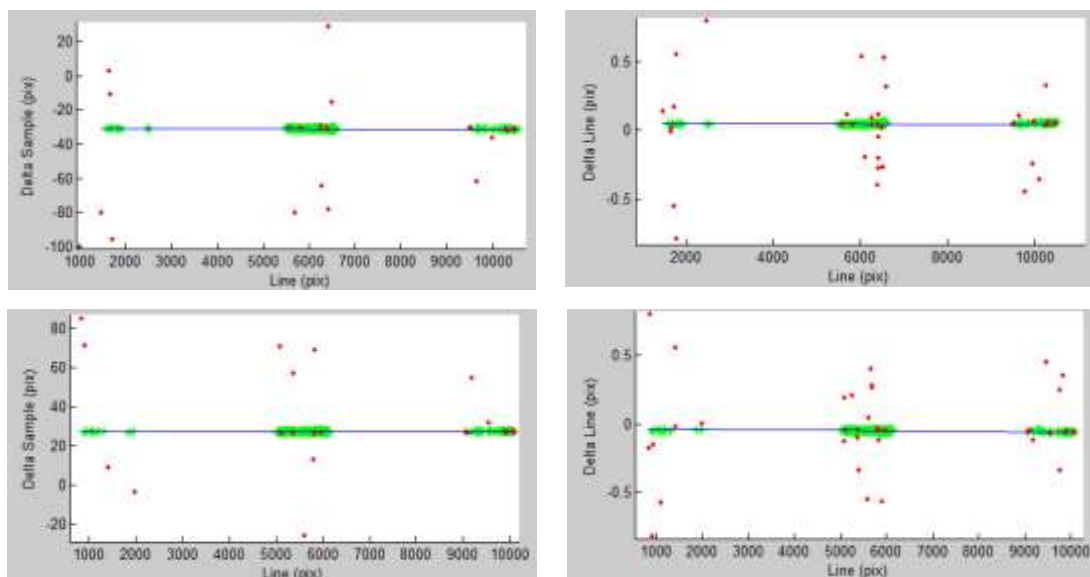
در این ارزیابی، پس از استخراج نقاط متناظر عکسی و انتخاب حد آستانه‌های ۰.۶، ۰.۸ و ۱ پیکسل؛ نتیجه اعمال الگوریتم RANSAC+RPC و الگوریتم



شکل ۶: مقدار خطاهای  $\Delta S$ ,  $\Delta l$ ,  $\Delta S'$ ,  $\Delta l'$ ,  $\Delta S''$ ,  $\Delta l''$ : مقادیر این خطاهای در تصویر تقریباً قائم سنجنده **GeoEye1**; پایین: مقادیر این خطاهای در تصویر با زاویه دید مایل سنجنده **GeoEye1**

نشان می‌دهند. همچنین نقاطی که مقدار  $\Delta S$  آن‌ها در الگوریتم *RANSAC* دارای برچسب اشتباه باشد، به عنوان نقاط اشتباه معرفی می‌شوند. برای برازش خط و نتایج حاصل از این عملیات، برای تصاویر سنجنده *IRS P5* در شکل (۶) و برای تصویر سنجنده *GeoEye1* در شکل (۷) ارائه شده‌اند.

پس از فرآیند مراحل قبل، مقادیر  $\Delta S$ ,  $\Delta l$ ,  $\Delta S'$ ,  $\Delta l'$ ,  $\Delta S''$ ,  $\Delta l''$  محاسبه می‌شوند. برای حذف اثر ناشی از خطاهای توابع رشنال با الگوریتم *RANSAC* به این مقادیر یک خط برازش داده می‌شود. پارامترهای تعریف کننده خط، همان خطاهای شیفت و دریفت (در صورت وجود) توابع رشنال را



شکل ۷: مقدار خطاهای  $\Delta S$ ,  $\Delta l$ ,  $\Delta S'$ ,  $\Delta l'$ ,  $\Delta S''$ ,  $\Delta l''$ : مقادیر این خطاهای در تصویر عقب‌نگر **IRS P5**; پایین: مقادیر این خطاهای در تصویر جلو‌نگر سنجنده **IRS P5**

### ۴-۳-۴- ارزیابی نتایج

برای ارزیابی نتایج، ابتدا تأثیر تصحیح نسبی توابع رشنال مورد بررسی قرار می‌گیرد. برای این کار مقادیر خطاهای  $\Delta S'$ ,  $\Delta l'$ ,  $\Delta S''$ ,  $\Delta l''$ ,  $\Delta S^*$ ,  $\Delta l^*$ ، قبل و پس از تصحیح توابع رشنال محاسبه می‌شوند. نتایج حاصل از این عملیات در جدول (۳) ارائه شده است.

جدول ۳: مقدار خطاهای قبل و پس از تصحیح توابع رشنال

بعد از تصحیح توابع رشنال (پیکسل)				قبل از تصحیح توابع رشنال (پیکسل)				سنجه
$\Delta S'$	$\Delta l'$	$\Delta S''$	$\Delta l''$	$\Delta S'$	$\Delta l'$	$\Delta S''$	$\Delta l''$	
۰.۰۱۱	۰.۰۰۳	-۰.۰۱۲	-۰.۰۰۲	۰.۰۱۱	۰.۰۰۳	-۰.۰۱۲	-۰.۰۰۲	GeoEye1
-۰.۷۸۱	۰.۰۴۸	۰.۶۷۸	-۰.۰۵۱	-۳۰.۸۸	۰.۰۴۸	۲۷.۵۲	-۰.۰۵۱	IRS P5

جدول (۳) نشان داد، در تصاویر فوق تنها خطاهای شیفت وجود داشته و برای تصحیح نسبی توابع رشنال، الگوریتم پیشنهادی از توانایی بالایی برخوردار است. در روش پیشنهادی برای اطمینان بیشتر، فرآیند تصحیح به صورت تکراری ارائه شده است؛ ولی در عمل با همان تکرار اول، مقدار خطاهای به دقت زیر یک پیکسل می‌رسند. نکته‌ی مهم دیگری که می‌توان از نتایج به دست آورده این است که در راستای لاین هیچ‌گونه خطایی دیده نمی‌شود و تنها در راستای سمت‌پل مقدار خطایی وجود دارد. دلیل این مسئله را می‌توان در هندسه‌ی تصویربرداری و هندسه‌ی اپی‌پولار دانست؛ زیرا در راستای لاین هرچقدر هم خطای وجود داشته باشد، این خطای می‌تواند خودش را در مقدار پارالاکس (ارتفاع) مخفی کند. ارزیابی ارائه شده در جدول (۴) نشان می‌دهد که در تصاویر فوق حتی اگر تصحیح نسبی توابع رشنال انجام نگیرد، در مختصات نهایی اختلاف چشمگیری به وجود نمی‌آید. زیرا خطای متوسط در راستای محور X حداقل سایز زمینی آن ۲.۵ متر است که پیکسل ارزیابی شده در جدول (۳) ارائه شده است. البته برای تصاویر ماهواره‌ای با توان تفکیک بالا اگر چنین خطایی وجود داشته باشد بهتر است که

پس از برآورد مقدار خطاهای "  $\Delta S'$ ,  $\Delta l'$ ,  $\Delta S''$ ,  $\Delta l''$ " به کمک روابط (۱۳ و ۱۴) و بر اساس آنچه در بخش ۳-۳ آمده است؛ ضایای تصحیح شده توابع رشنال محاسبه می‌شوند.

یکی دیگر از آزمون‌هایی که انجام آن ضروری به نظر می‌رسد معنی دار بودن تصحیح توابع رشنال است. بدین منظور بین مختصات سه‌بعدی محاسبه شده با توابع رشنال قبل از تصحیح و بعد از تصحیح مقایسه‌ای انجام گرفته است. با توجه به اینکه نتیجه تقاطع با توابع رشنال، مختصات نقاط را در سیستم مختصات رئوتیک می‌دهد؛ این مختصات به سیستم تصویر ترانسفور مرکاتور جهانی<sup>۱</sup> انتقال داده شده‌اند. نتایج حاصل از این آزمون، در جدول (۴) ارائه شده‌اند.

### ۵- بحث و نتیجه‌گیری

در این مقاله هدف تصحیح نسبی توابع رشنال همراه با شناسایی اشتباهات تناظریابی در تصاویر استریو ماهواره‌ای بود که نتایج آزمایشات انجام گرفته IRS P5 و GeoEye1 بر روی تصاویر ماهواره‌های RANSAC نشان از موفقیت این الگوریتم داشت. در این الگوریتم برای اتوماتیک کردن سطح اتوماسیون از الگوریتم‌های بینایی رایانه مانند SURF و

بهره گرفته شد.

نتایج ارائه شده در شکل‌های (۶ و ۷) و همچنین

<sup>۱</sup> Universal Transverse Mercator (UTM)

(مورد استفاده در جابجایی سنگی و زمین لغزش)، این خطا وجود داشته و بایستی حذف شود [۸].

حل شود. همچنین بایستی این مطلب را مدنظر داشت که در کاربردهایی مانند محاسبه حجم توده خاک با استفاده از تصاویر اخذ شده در دو اپک متفاوت

جدول ۴: تأثیر تصحیح توابع رشنال بر مختصات زمینی نقاط

$\Delta X (m)$	$\Delta Y (m)$	$\Delta Z (m)$	مؤلفه	سنجدنه
۰.۰۰۰	۰.۰۰۰	۰.۰۰۰	میانگین	<i>GeoEye1</i>
۰.۰۰۰	۰.۰۰۰	۰.۰۰۰	انحراف معیار	
-۱.۴۸۰	۰.۴۱۰	۰.۳۹۰	میانگین	<i>IRS P5</i>
۰.۰۰۱	۰.۰۰۸	۰.۰۳۴	انحراف معیار	

و پروژکتیو زمانی جواب می‌دهد که؛ منطقه مورد مطالعه شامل دشت بوده و هندسه تصویربرداری یک هندسه پرسپکتیو باشد. علاوه بر این تعداد نقاط متناظر صحیحی که الگوریتم *RANSAC+RPC* *RANSAC+RPC* شناسایی می‌کند به مراتب (حدود ده برابر) بیش از سایر الگوریتم‌های *RANSAC+Projective* و *RANSAC+Affine* است. *RANSAC+Affine* با توجه به بخش ۲-۳ نتایج به دست آمده؛ الگوریتم *RANSAC+RPC* در تصاویر ماهواره‌ای آرایه خطی معادل الگوریتم *RANSAC+F* در تصاویر با هندسه‌ی پرسپکتیو است. البته با این تفاوت که الگوریتم *RANSAC+RPC* منحنی بودن هندسه‌ی اپی‌پولار در تصاویر استریو ماهواره‌ای را نیز در نظر می‌گیرد.

مهم‌ترین نتیجه تحقیق پیش رو را می‌توان به کارگیری الگوریتم نوین *RANSAC+RPC* دانست که در آن برای توجیه نسبی پایدار تصاویر استریو ماهواره‌ای، از هندسه تصاویر ماهواره‌ای برای شناسایی اشتباها تناظریابی استفاده شده است.

در مورد نتایج به دست آمده از تصاویر سنجدنه *GeoEye1* بایستی به این توجه داشت که در حال حاضر شرکت‌هایی که وظیفه تولید توابع رشنال برای تصاویر ماهواره‌ای با توان تفکیک بالا را بر عهده دارند، ادعا کرده‌اند که در مناطق شهری و یا مناطقی که از آن‌ها نقشه‌های زمین مرجعی در اختیار دارند، مقدار خطای مطلق توابع رشنال زیر ۲ متر می‌باشد. از این رو مقدار خطای نسبی به مراتب مقداری کمتر از آن است. تصاویر مربوط به سنجدنه *GeoEye1* نیز از این حیث مستثنی نیستند؛ زیرا این تصاویر از یک منطقه شهری اخذ شده‌اند. از آنجا که مقدار خطای نسبی توابع رشنال زیر ۰.۱۲ پیکسل بود؛ تصحیحی در این توابع انجام نگرفت.

نتایج به دست آمده در جدول (۲) نشان می‌دهد، الگوریتم *RANSAC+RPC* نسبت به سایر الگوریتم‌های *RANSAC+Affine* و *RANSAC+Projective* از موفقیت بالای برخوردار است. زیرا استفاده از مدل‌های سراسری افاین

## مراجع

- [1] F. D. Javan and A. Azizi, "Investigations on Applicability of Affine Transformation for Geo-Referencing of Cartosat-1 imageries," Journal of Geomatics Science and Technology, vol. 1, p. 11, 2011.
- [2] J. Grodecki and G. Dial, "Block adjustment of high-resolution satellite images described by rational polynomials," Photogrammetric Engineering & Remote Sensing, vol. 69, pp. 59-68, 2003.

- [3] C. V. Tao and Y. Hu, "A comprehensive study of the rational function model for photogrammetric processing," *Photogrammetric Engineering and Remote Sensing*, vol. 67, pp. 1347-1358, 2001.
- [4] C. S. Fraser and H. B. Hanley, "Bias compensation in rational functions for IKONOS satellite imagery," *Photogrammetric Engineering & Remote Sensing*, vol. 69, pp. 53-57, 2003.
- [5] A. Alizadeh, S. Kahazaie, H. Arefi, and A. Jamshidzadeh, "Automated bias compensation of RPCs of IRS-P5 Satellite Images Using DEM," *journal of Geospatial Information Technology*, vol. 2, p. 16, 2014.
- [6] A. Azizi, A. Hadilou, M. Shankayi, and M. Aslani, "The Effect of Shift and Drift Errors in 3D Coordinates Extracted from IRS P5 Imagery," *Geospatial Engineering Journal*, vol. 4, p. 9, 2013.
- [7] C. Li, Y. Shen, B. Li, G. Qiao, S. Liu, W. Wang, et al., "An improved geopositioning model of QuickBird high resolution satellite imagery by compensating spatial correlated errors," *ISPRS Journal of Photogrammetry and Remote Sensing*, vol. 96, pp. 12-19, 2014.
- [8] R. Negadi, "Determination and Evaluation of The Landslide Volumetric Displacement Using IRS P5 Satellite Images Without GCPs," MS.C, University of Tehran, 2016.
- [9] D. G. Lowe, "Distinctive image features from scale-invariant keypoints," *International journal of computer vision*, vol. 60, pp. 91-110, 2004.
- [10] H. Bay, A. Ess, T. Tuytelaars, and L. Van Gool, "Speeded-up robust features (SURF)," *Computer vision and image understanding*, vol. 110, pp. 346-359, 2008.
- [11] A. Sedaghat, M. Mokhtarzade, and H. Ebadi, "Mutual Information Similarity Measure for Scale and Rotation Invariant Image Matching," *Journal of Geomatics Science and Technology*, vol. 1, p. 14, 2011.
- [12] A. Sedaghat, M. Mokhtarzade, and H. Ebadi, "Uniform robust scale-invariant feature matching for optical remote sensing images," *Geoscience and Remote Sensing, IEEE Transactions on*, vol. 49, pp. 4516-4527, 2011.
- [13] S. Badrloo, M. Mokhtarzade, and M. J. Valdan Zoj, "Matching of Remote Sensing Images based on Projective Transformation and Using Hopfield Neural Network," *Geospatial Engineering Journal*, vol. 6, p. 12, 2015.
- [14] A. A. Goshtasby, *Image registration: Principles, tools and methods*: Springer Science & Business Media, 2012.
- [15] M. A. Fischler and R. C. Bolles, "Random sample consensus: a paradigm for model fitting with applications to image analysis and automated cartography," *Communications of the ACM*, vol. 24, pp. 381-395, 1981.
- [16] R. Gupta and R. Hartley, "Linear pushbroom cameras," *Pattern Analysis and Machine Intelligence, IEEE Transactions on*, vol. 19, pp. 963-975, 1997.
- [17] J. Oh, C. Lee, Y. Eo, and J. Bethel, "Automated georegistration of high-resolution satellite imagery using a RPC model with airborne lidar information," *Photogrammetric Engineering & Remote Sensing*, vol. 78, pp. 1045-1056, 2012.
- [18] F. Hu, M. Wang, and D. Li, "A novel epipolarity model of satellite stereo-imagery based on virtual horizontal plane of object-space," in *International Conference on Earth Observation Data Processing and Analysis*, 2008, pp. 72851D-72851D-8.
- [19] J.-H. Oh, S.-W. Shin, and K.-O. Kim, "Direct epipolar image generation from IKONOS stereo imagery based on RPC and parallel projection model," *Korean Journal of Remote Sensing*, vol. 22, pp. 451-456, 2006.
- [20] M. F. Morgan, "Epipolar resampling of linear array scanner scenes," Ph.D., University of Calgary, Canada, 2004.
- [21] H. Afsharnia, "Digital Elevation Model Generation from High Resolution Satellite

Imagery using Constrained Least Squares Image Matching," M.Sc., Department of Surveying and Geomatics Engineering, University of Tehran, Tehran, Iran, 2010.

- [22] N. Tatar, M. Saadatseresht, H. Arefi, and A. Hadavand, "QUASI-EPIPOLAR RESAMPLING OF HIGH RESOLUTION SATELLITE STEREO IMAGERY FOR SEMI GLOBAL MATCHING," presented at the Sensors and models in Photogrammetry and Remote Sensing (3rd SMPR), Kish Island, Iran, 2015.
- [23] M. Wang, F. Hu, and J. Li, "Epipolar resampling of linear pushbroom satellite imagery by a new epipolarity model," ISPRS Journal of Photogrammetry and Remote Sensing, vol. 66, pp. 347-355, 2011.
- [24] M. Wang, F. Hu, and J. Li, "Epipolar arrangement of satellite imagery by projection trajectory simplification," The Photogrammetric Record, vol. 25, pp. 422-436, 2010.
- [25] J. Oh, "Novel Approach to Epipolar Resampling of HRSI and Satellite Stereo Imagery-based Georeferencing of Aerial Images," Ph.D, The Ohio State University, The Ohio State, USA, 2011.
- [26] R. Hartley and A. Zisserman, Multiple view geometry in computer vision: Cambridge university press, 2003.



## **Outlier Detection and Relative RPC Modification of Satellite Stereo Images Using RANSAC+RPC Algorithm**

Norrallah Tatar <sup>\*1</sup>, Mohamad Saadatseresht <sup>2</sup>, Hossein Arefi <sup>3</sup>

1- Ms.c student of Photogrammetry in School of Surveying and Spatial Information Engineering, College of Engineering, University of Tehran

2- Associated professor in School of Surveying and Spatial Information Engineering, College of Engineering, University of Tehran

3- Assistant professor in School of Surveying and Spatial Information Engineering, College of Engineering, University of Tehran

### **Abstract**

Satellite image providers usually present Rational Polynomial Coefficients (RPCs) as a user friendly solution for georeferencing of images. As RPCs are determined independently for each image scene, there are both absolute and relative georeferencing biases will in stereo scenes. Relative orientation of a stereo scene needs some conjugate image points. Speeded up robust features (SURF) operator is a powerful computer vision algorithm for image feature extraction and matching. Usually some of the features are not actually matched and are outliers. In this paper RANSAC+RPC algorithm is employed to simultaneously detect these outliers and modify the relative bias of RPCs. Our experiments on GeoEye-1 over Qom city and IRS-P5 over Rudhen district, both in central Iran, demonstrated the capability of our proposed algorithm. Though the RPC modification was done robustly for relative orientation of stereo scenes, yet improvement in the reconstructed 3D coordinates are in the range of sub-pixel accuracy. Our experiments demonstrate that the relative RPC shift and drift error will not cause any accuracy improvement in 3D reconstruction problem.

**Key words:** Rational Polynomial Coefficients (RPC), RPC Modification, Satellite Stereo Imagery, RANSAC+RPC, Outlier Detection.

**Correspondence Address:** Photogrammetry Group, School of Surveying and Geo-spatial Information Engineering, College of Engineering, University of Tehran, Tehran, Iran.  
**Tel:** +98 21-88008837  
**Email:** n.tatar@ut.ac.ir